

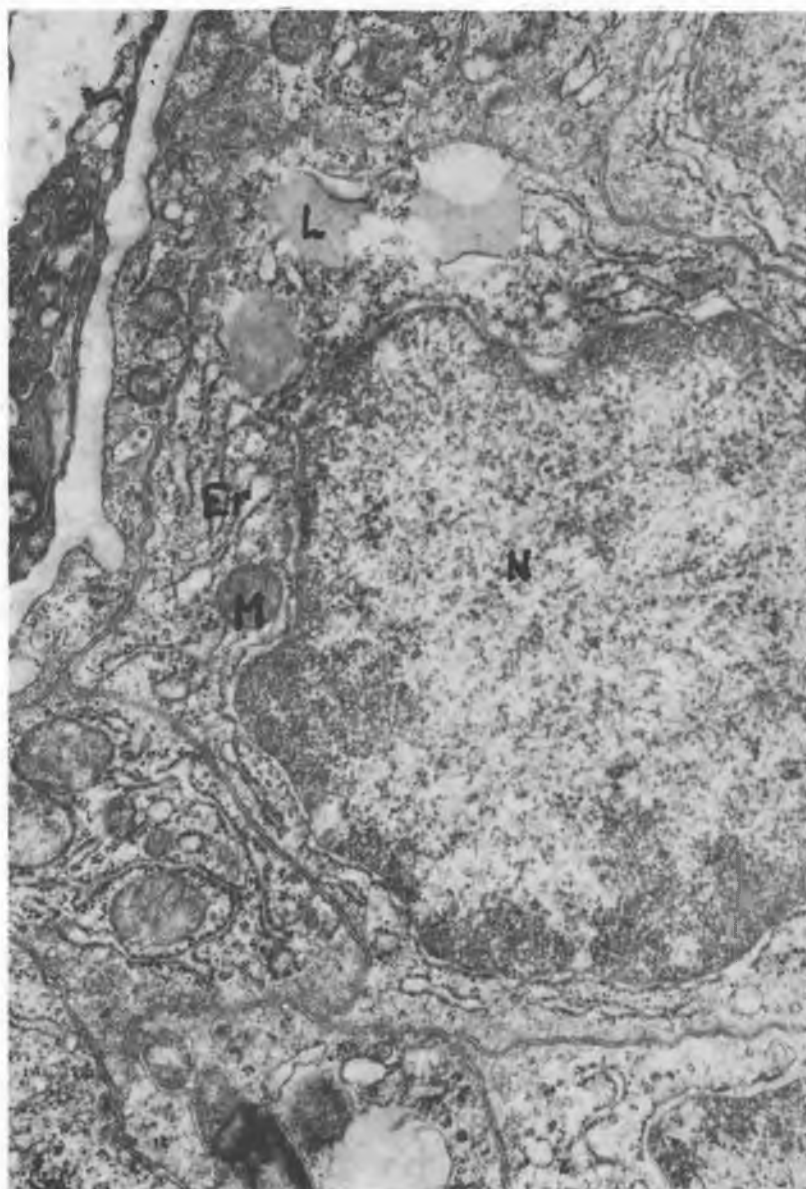
3 doby. Skrawki sporządzano przy użyciu ultramikrotomu Tesla BS 490, a oglądano i fotografowano w mikroskopie elektronowym Tesla BS 613.

BADANIA WŁASNE

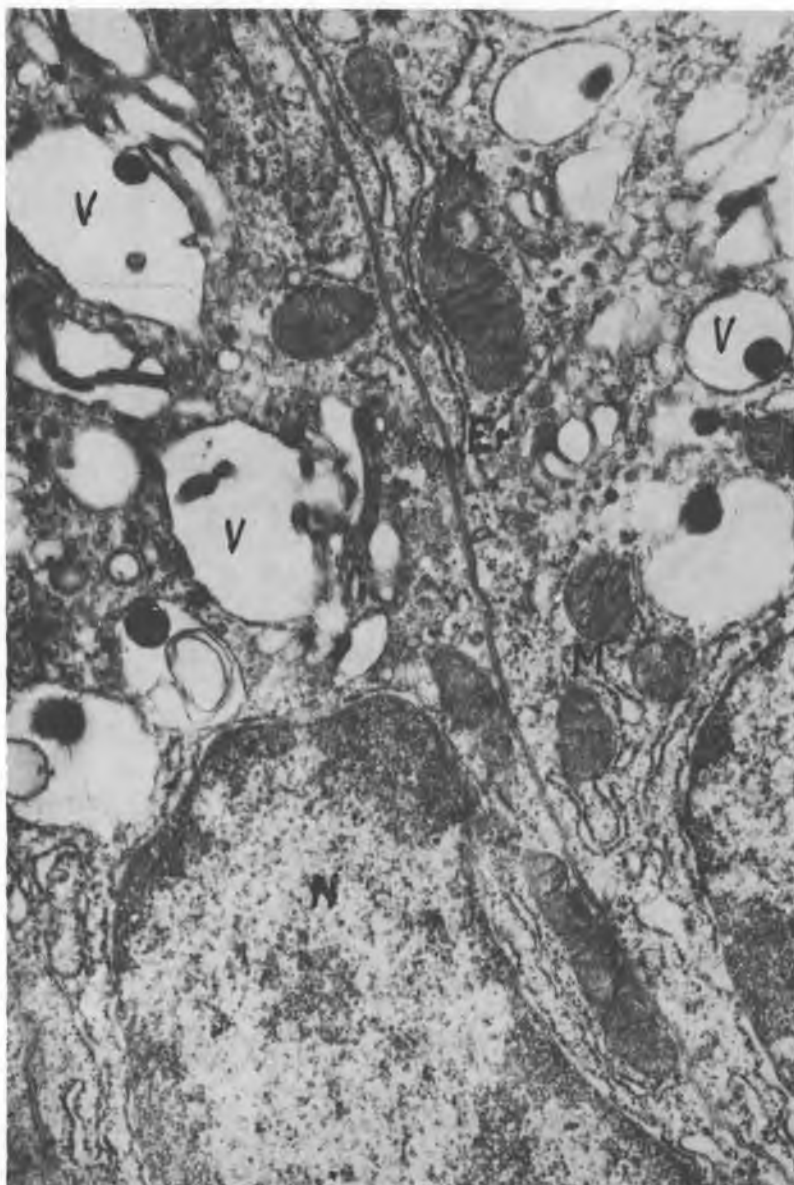
Grupa kontrolna. Nabłonek wyścielający pęcherzyki nasienne szczura utworzony był z dwóch rodzajów komórek: cylindrycznych komórek wydzielniczych i podstawowych, ułożonych pomiędzy tymi pierwszymi. Komórki nabłonka opierały się na cienkiej błonie podstawowej, do której od zewnątrz przylegały włókna i komórki tkanki łącznej. Często wśród nich widoczne były włosowate naczynia krwionośne. Ultrastruktura obu komórek odpowiadała obrazom opisywanym przez wielu autorów (3, 6, 7, 9, 13).

Grupa doświadczalna I. W obrębie komórek podstawowych uchwytanych zmian nie stwierdzono. Komórki cylindryczne zachowały swoją wysokość i kształt. Podobnie jak w grupie kontrolnej otoczone były wyraźną błoną, która wzdłuż bocznych ścian komórek niekiedy wpuklała się w komórkę sąsiednią. W części podstawnej często spotykano w obrębie cytoplazmy krople lipidów (ryc. 1). Były one zlokalizowane w pobliżu jąder komórkowych, obok dość licznych w tych rejonach komórek elementów szorstkiej siatki śródplazmatycznej. W okolicy nadjądrowej przeważała gładka siatka śródplazmatyczna, a ergostoplazmy było niewiele. Zwraçała tutaj uwagę duża ilość pęcherzyków wydzieliny, różnej wielkości (ryc. 2). Oprócz małych spotykano także duże pęcherzyki, zawierające wydzielinę z gęstym elektronowo jądrem. W grupie kontrolnej tego typu pęcherzyki wydzieliny spotykano zwykle w mniejszej ilości i z reguły w części szczytowej komórek. Mitochondria, rozmieszczone równomiernie na terenie cytoplazmy, podłużne lub owalne, wykazywały typową budowę. Lizosomy spotykano rzadko, podobnie jak w kontroli. Na szczytach komórek widniały liczne, długie mikrokosmki, co również przypominało obrazy badanych komórek z grupy kontrolnej.

Grupa doświadczalna II. Podobnie jak w poprzednio opisywanej grupie zwierząt, nie stwierdzono zmian w ultrastrukturze komórek podstawowych nabłonka pęcherzyków nasiennych. Inny natomiast był charakter zmian w cylindrycznych komórkach wydzielniczych. Zauważono znaczne zmniejszenie ilości elementów szorstkiej siatki śródplazmatycznej zarówno w porównaniu z grupą kontrolną, jak i I grupą doświadczalną. Mało było również ziaren wydzieliny w komórkach tej grupy zwierząt. Błony otaczające nieliczne duże ziarna były często porozrywane, a ziaren małych, licznych w obu poprzednio ocenianych grupach, tutaj prawie nie spotykano (ryc. 3). Część mitochondriów wykazywała uszkodzenia. W niektórych spośród tych organoidów komórkowych obserwowano zaburzenia



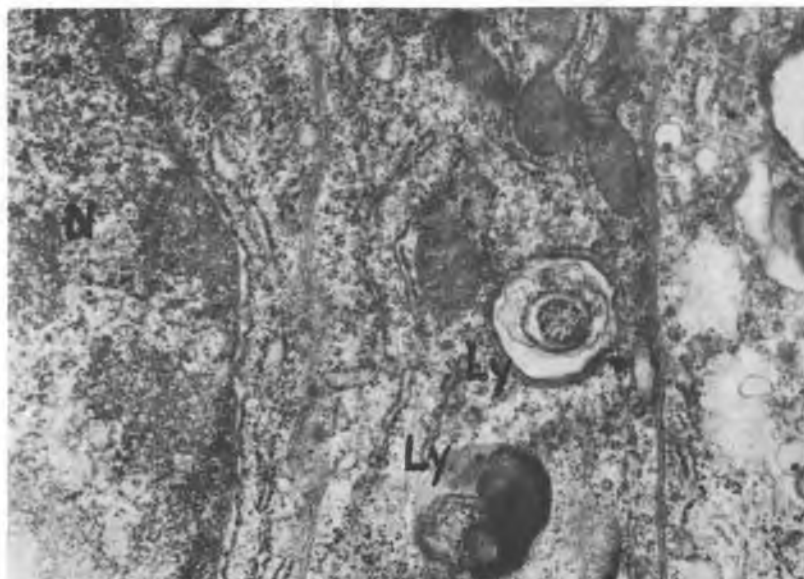
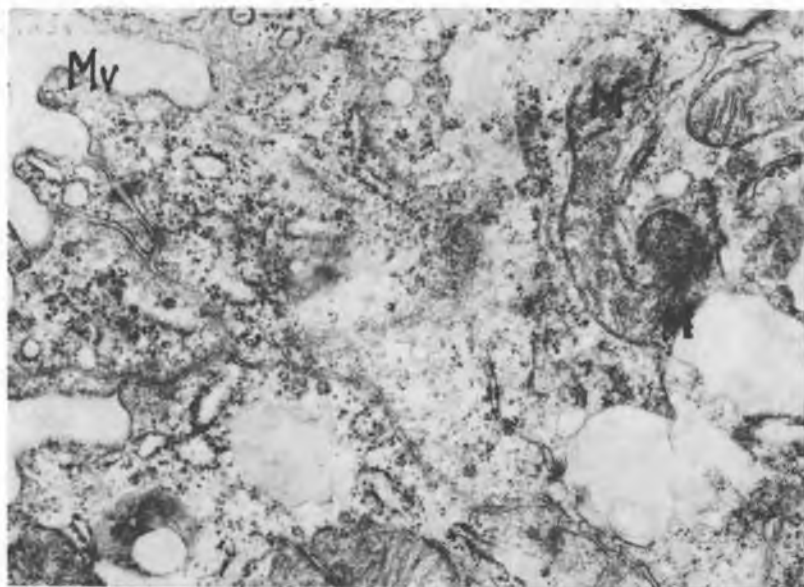
Ryc. 1



Ryc. 2



Ryc. 3



Ryc. 4

struktury wewnętrznej, a niekiedy również uszkodzenia otoczek (ryc. 4). Na terenie cytoplazmy spotykano także twory fagocytarne, czego poprzednio nie udało się stwierdzić (ryc. 4). Ilość mikrokosmków umiejscowionych na szczytach komórek w obecnie opisywanej grupie wydawała się mniejsza niż u zwierząt kontrolnych.

OMÓWIENIE WYNIKÓW I WNIOSKI

Ultrastrukturę komórek nabłonkowych pęcherzyków nasiennych w warunkach prawidłowych u myszy, szczura, chomika złotego i królika opisali m. in. Deane i wsp. (3), Kovacs i wsp. (6), Toner i wsp. (13) i inni. Autorzy ci stwierdzają zgodnie, że badane komórki cechuje duża dynamika procesów wydzielniczych. Komórki były bogate w ergastoplazmę zlokalizowaną głównie u podstawy i w strefie okołojądrowej. Posiadały też liczne pęcherzyki wydzieliny, sąsiadujące z układem Golgiego. Wielkość tych pęcherzyków wzrastała w miarę zbliżania się do wierzchołka komórki. Powierzchnia styku komórek ze światłem pęcherzyków była zwiększona poprzez liczne mikrokosmki.

Wielu autorów opisywało zmiany, jakim może ulec nabłonek pęcherzyków nasiennych pod wpływem czynników chemicznych. Staszyc (11), Hopsu i wsp. (5), Wicks i wsp. (14), Paluszak (10), Cameron (2) i inni podawali szczurom i królikom (samcom) testosteron, gonadotropinę, chlorek kadmu, rezerpinę lub karmę bogatą w tłuszcze i stwierdzili zmiany w odczynach histochemicznych charakterystycznych dla RNA i grup sulfhydrylowych jak również zmiany w aktywności wydzielniczej nabłonka. Bobkow (1), Tomasi i wsp. (12), Limanowski (8) i inni stwierdzili zmiany degeneracyjne w nabłonku pęcherzyków nasiennych jako następstwo kastracji.

Obserwacje nasze dotyczące ultrastruktury komórek nabłonkowych pęcherzyków nasiennych szczurów prowadzono po podaniu preparatu *tace* wykazały, że w przypadkach z I grupy doświadczalnej wzrosła ilość pęcherzyków wydzieliny, przy czym dojrzałe duże pęcherzyki spotykano już w okolicy okołojądrowej. W obrazach pochodzących od II grupy zwierząt doświadczalnych zauważono małą ilość wydzieliny. Stwierdzono również zmniejszenie ilości ergastoplazmy, tj. elementu niewątpliwie zaangażowanego w proces wytwarzania wydzieliny. Oprócz tych zmian zaobserwowaliśmy u tej grupy zwierząt uszkodzenie nielicznych mitochondriów, pojawienie się struktur fagocytarnych i zmniejszenie ilości mikrokosmków na szczytach komórek.

Na podstawie naszych obserwacji wydaje się możliwe przypuszczenie, że użyty w doświadczeniu preparat, poza zmianami w ultrastrukturze komórek nabłonkowych pęcherzyków nasiennych, powodował też zmiany

czynnościowe w badanych komórkach. Ocena ultrastruktury tych komórek pozwala sądzić, że w początkowym okresie stosowania powodował on wzmożenie sekrecji w pęcherzykach nasiennych. Dłuższe podawanie preparatu (w ciągu 7 dni) hamowało tę sekrecję oraz prowadziło do powstawania zmian wstecznych w analizowanych komórkach. Podobne wyniki uzyskaliśmy wcześniej obserwując ultrastrukturę pęcherzyków nasiennych po prostatektomii (7).

Hohlweg (4) prowadząc badania nad wpływem niedoboru witaminy A na różne rodzaje nabłonków wykazał, że nabłonki gruczołowe nie posiadające warstwy rozrodczej reagowały na niedobór tej witaminy najpierw przejściową hipersekrecją, a przy dalej posuniętej hipowitaminozie A — atrofią gruczołów. Natomiast Obuchowska (9) po trzech miesiącach doświadczalnej hipowitaminozy A stwierdza w nabłonku pęcherzyków nasiennych szczerą osłabienie procesu wydzielniczego, o czym zdaniem autorki świadczyć miały: znikoma ilość wydzieliny w komórkach i w świetle gruczołu, nieliczne i krótkie mikrokosmki, mała liczba błon szorstkich i słabo zaznaczone struktury Golgiego.

O ile więc w tych przypadkach następowało obniżenie zdolności wydzielniczych analizowanych komórek, o tyle w przypadku podawania preparatu o działaniu estrogennym zaburzeniu temu towarzyszyły zmiany wsteczne tych komórek. Mogą za tym przemawiać liczne struktury fagocytarne, obserwowane przez nas w cytoplazmie komórek wydzielniczych nabłonka pęcherzyków nasiennych u zwierząt drugiej grupy doświadczalnej.

PIŚMIENNICTWO

1. Bobkow A. G.: Biull. Eksp. Biol. Med. **48**, 101—106, 1959.
2. Cameron E.: J. Anat. **99**, 907—912, 1965.
3. Deane H. W., Porter K. R.: Anat. Rec. **133**, 317, 1959.
4. Hohlweg W., Laschet V.: Vitamine und Hormone **8**, 164—184, 1958.
5. Hopsu V. E., Makinen E., Harkonen M., Kiwikoski A.: Ann. Med. Exp. Biol. Fenn. **40**, 302—312, 1962.
6. Kovacs J., Peczely P.: Acta Biol. Acad. Sci. Hung. **16**, 275—283, 1966.
7. Latański M.: Ann. Univ. M. Curie-Skłodowska, Lublin, Sec. D, **23**, 167—184, 1968.
8. Limanowski A.: Endokrynol. Pol. **16**, 553—565, 1965.
9. Obuchowska D.: Ann. Univ. M. Curie-Skłodowska, Lublin, Sec. D, **26**, 337—343, 1971.
10. Paluszak J.: Endokrynol. Pol. **16**, 535—541, 1965.
11. Staszyc J.: Ann. Univ. M. Curie-Skłodowska, Lublin, Sec. D, **14**, 37—42, 1959.
12. Thomas J. A., Andrews R. V.: Endocrinology **77**, 1147—1148, 1965.
13. Toner P. C., Baillie A. H.: J. Anat. **100**, 173—188, 1966.
14. Wicks W. D., Kenny F. T.: Science **144**, 1346—1347, 1964.

OBJAŚNIENIA RYCIN

Ryc. 1. Grupa doświadczalna I. Nabłonek pęcherzyków nasiennych szczura. Er — ergastoplazma, M — mitochondria, L — lipidy, N — jądro. Pow. ok. 28 000×.

Ryc. 2. Grupa doświadczalna I. Nabłonek pęcherzyków nasiennych szczura. Er — ergastoplazma, V — pęcherzyki wydzieliny, M — mitochondria, N — jądro. Pow. ok. 28 000×.

Ryc. 3. Grupa doświadczalna II. Nabłonek pęcherzyków nasiennych szczura. V — pęcherzyki wydzieliny, M — mitochondria. Pow. ok. 28 000×.

Ryc. 4. Grupa doświadczalna II. Nabłonek pęcherzyków nasiennych szczura. Mv — mikrokosmki, M — mitochondria, Ly — struktury autofagocytarne, N — jądro. Pow. ok. 28 000×.

РЕЗЮМЕ

Самцам белых крыс вводилось тасе (фирмы Merrell) синтетическое нестероидное соединение эстрогенного действия, применяемое в неоперабельных случаях ларциномы предстательной железы. Это средство, применяемое 1 раз в сутки (0,8 мг/кг) в течение 3 суток, вызывало усиление секреции эпителиальных клеток семенных пузырьков. Применение этой же дозы в течение 7 дней снижает секрецию исследованных клеток и вызывает инволюцию эпителия.

SUMMARY

White male rats were given Tace (by Merrell), a synthetically obtained non-steroid estrogen-releasing compound applied in non-operational cases of prostatic gland cancer. This preparation was administered once a day, the dose being 0,8 mg/kg b.w. After three days it caused an intensification of the secretory processes of the seminal vesicles epithelial cells. The administration of Trace for seven days, daily dosage being the same, led to a decrease in the secretion of the studied cells and caused regressive changes in the epithelium.

EXPLANATION TO FIGURES

Fig. 1. Experimental group I. The epithelium of the seminal vesicle in the rat. Er — ergastoplasm, M — mitochondria, L — lipid, N — nucleus. Magn. ca 28 000×.

Fig. 2. Experimental group I. The epithelium of the seminal vesicle in the rat. Er — ergastoplasm, V — secretory vesicles, M — mitochondria, N — nucleus. Magn. ca 28 000×.

Fig. 3. Experimental group II. The epithelium of the seminal vesicle in the rat. V — secretory vesicles, M — mitochondria. Magn. ca 28 000×.

Fig. 4. Experimental group II. The epithelium of the seminal vesicle in the rat. Mv — microvilli, M — mitochondria, Ly — lisosomes, N — nucleus. Magn. ca 28 000×.

